

## وارونگی پایدار برای کنترل پیش‌خور ربات‌های انعطاف‌پذیر همکار

هادی دارابی<sup>۱</sup>، محمدرضا الهامی<sup>۲\*</sup>

<sup>۱</sup> دانشجوی دکتری، گروه مهندسی مکانیک، دانشکده فنی و مهندسی، دانشگاه جامع امام حسین (ع)، تهران، ایران  
<sup>۲</sup> دانشیار، گروه مهندسی مکانیک، دانشکده فنی و مهندسی، دانشگاه جامع امام حسین (ع)، تهران، ایران

### برجسته‌ها

- ضرایب لاگرانژ در سیستم‌های مقید نشان معرف نیروهای داخلی هستند؛ و با تنظیم آن‌ها نیروهای داخلی کنترل می‌شوند.
- قید نامساوی به‌عنوان قیود مسئله کمینه‌سازی، برای همگرایی به پاسخ صحیح وارد شده است.

### مشخصات مقاله

تاریخچه مقاله:

نوع مقاله: علمی پژوهشی

دریافت: ۱۴۰۱/۰۸/۰۲

بازنگری: ۱۴۰۱/۰۸/۱۳

پذیرش: ۱۴۰۱/۰۹/۱۷

ارائه برخط: ۱۴۰۱/۰۹/۲۱

\*نویسنده مسئول:

melhami@ihu.ac.ir

کلیدواژه‌ها:

ربات انعطاف‌پذیر

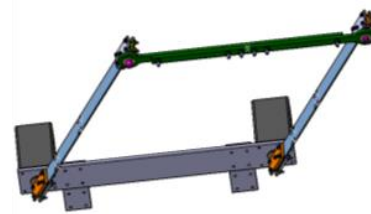
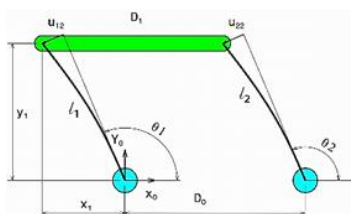
اجزای محدود

روش لاگرانژ

وارونگی پایدار

روش  $\alpha$  تعمیم‌یافته

### چکیده گرافیکی



### چکیده

در این مقاله، حل دینامیک معکوس برای کنترل پیش‌خور ربات‌های انعطاف‌پذیر همکار بررسی می‌شود. دینامیک داخلی ربات‌های انعطاف‌پذیر ناپایدار است و برای به دست آوردن یک حل کران‌دار مسئله دینامیک معکوس از روش بهینه‌سازی غیرخطی مقید استفاده شده است. در روش بهینه‌سازی، هدف کمینه کردن انرژی الاستیک بازوها با وجود قیدهای متعدد است این قیدها شامل: (۱) معادلات دینامیکی؛ (۲) معادلات مسیر حرکت و نیرو؛ (۳) قیدهای سینماتیکی محدودکننده حرکت ربات‌ها؛ (۴) قیدهای مربوط به متغیرهای اضافی و (۵) قیدهای روش  $\alpha$  تعمیم‌یافته برای پایداری حل است. روش مورد استفاده برای مدل‌سازی دینامیکی بر اساس معادله لاگرانژ و گسسته‌سازی به روش اجزای محدود است. از ضرایب لاگرانژ برای کنترل نیروهای داخلی اعمالی به باربری مفید استفاده شده است و برای جلوگیری از تغییر جهت در کنترل نیرو یک قید نامساوی به مجموعه قیدهای بهینه‌سازی اضافه شده است. این روش روی ربات‌های تک لینکی انعطاف‌پذیر همکار، پیاده‌سازی شده است و توانایی کنترل مسیر بار و نیروی اعمالی به آن را دارد.

## ۱- مقدمه

ربات‌ها و ایجاد زنجیره بسته سینماتیکی به مسئله وارد می‌شود. مسئله دینامیک معکوس برای ربات‌های انعطاف‌پذیر به محاسبه نیروها و گشتاورهای لازم برای تولید یک حرکت مشخص در عملگر نهایی، به صورت تابعی از زمان گفته می‌شود.

دینامیک داخلی به عنوان دینامیک باقی‌مانده و ظاهر نشده یک سیستم وقتی که خروجی سیستم تعیین شده باشد تعریف می‌شود و این دینامیک داخلی به خاطر اینکه ورودی و خروجی سیستم در یک مکان تجمع نشده<sup>۶</sup> است. برخلاف ساختارهای صلب ایده‌آل که در آن‌ها سرعت انتشار موج نامحدود است، یعنی اثر نیرو به طور لحظه‌ای از یک طرف ساختار به سر دیگر منتقل می‌شود، سرعت انتشار موج در ساختارهای انعطاف‌پذیر محدود است. در نتیجه، هرچه ساختار انعطاف‌پذیرتر باشد، تأخیر بین فعال شدن بازو و حرکت عملگر نهایی بیشتر است. این منجر به تأخیر فاز در پاسخ سیستم می‌شود که می‌تواند کنترل سیستم را ناپایدار کند. بسته به اهمیت تأخیر فاز، دینامیک داخل سیستم می‌تواند مینیمم فاز<sup>۷</sup> یا غیر مینیمم فاز<sup>۸</sup> باشد، در سیستم مینیمم فاز، دینامیک داخلی سیستم پایدار است، در سیستم غیر مینیمم فاز، دینامیک داخلی ناپایدار است. این ویژگی‌ها بر طراحی کنترلر سیستم حلقه باز تأثیر زیادی دارد. رفتار غیر مینیمم فاز زمانی اتفاق می‌افتد که از محرک‌های مفاصل برای کنترل عملگر نهایی یک ربات انعطاف‌پذیر [۸] یا یک ربات با مفاصل غیرفعال [۹] استفاده شود. تجزیه و تحلیل پایداری دینامیک داخلی در سیستم‌های غیرخطی، در عمل، محدود به بررسی دینامیک صفر سیستم خطی شده است [۱۰] و به عنوان دینامیک باقیمانده وقتی که خروجی‌ها در یک نقطه تعادل ثابت نگه‌داشته شوند، تعریف می‌شود.

سیستم‌های مینیمم فاز، دینامیک داخلی پایدار دارند و دینامیک معکوس را می‌توان با انتگرال‌گیری روبه‌جلو در زمان حل کرد. ولی ربات‌های انعطاف‌پذیر سیستم‌هایی با دینامیک داخلی ناپایدار هستند؛ و انتگرال‌گیری روبه‌جلو در زمان به حل بی‌کران منجر می‌شود [۱۱]. برای به دست

به دلیل کاهش وزن و سفتی، ربات‌های انعطاف‌پذیر سریع‌تر، ایمن‌تر و کارآمدتر از ربات‌های صلب هستند. با افزایش نسبت بار حمل شده به وزن ربات، سرعت حرکت و پهنای باند کنترل، انعطاف‌پذیری بازوی رباتیک بیشتر نمایان می‌شود. انعطاف‌پذیری، باعث ایجاد خطای حالت ماندگار، خطا در ردیابی مسیر و ارتعاشات در مجری نهایی ربات می‌شود. به همین دلیل تغییر شکل الاستیک اعضا باید در حین حرکت کنترل شود، استراتژی‌های کنترل ربات‌های انعطاف‌پذیر معمولاً شامل کنترل پیش‌خور<sup>۱</sup> که سیگنال کنترلی حلقه باز برای تعقیب مسیر را ایجاد می‌کند و سیگنال کنترل پس‌خور<sup>۲</sup> که اختلالات و عدم قطعیت‌های مدل را جبران می‌کند [۱].

مهم‌ترین روش‌های کنترل پیش‌خور برای ربات‌های انعطاف‌پذیر شامل: شکل‌دهی ورودی [۲ و ۳]، فیلتر گشتاور ورودی [۴] و دینامیک معکوس است. روش‌های شکل‌دهی ورودی و فیلتر گشتاور ورودی برای سیستم‌های خطی طراحی شده‌اند. برای سیستم‌های غیرخطی که فرکانس طبیعی با تغییر حالت سیستم، تغییر می‌کند، می‌تواند اشکال ایجاد کند. همچنین، از آن‌ها بیشتر برای کنترل نقطه به نقطه و کمتر در ردیابی مسیر استفاده می‌شود [۵]. روش دینامیک معکوس توانایی کنترل مسیر در سیستم‌های غیرخطی را دارد.

به دلیل ماهیت پیوسته اعضای ربات انعطاف‌پذیر، برای مدل‌سازی دینامیکی از روش‌های گسسته‌سازی مختلف برای تقریب اعضای پیوسته استفاده می‌شود. مهم‌ترین این روش‌ها شامل روش مدهای فرضی<sup>۳</sup>، روش اجزای محدود، روش تفاضل محدود<sup>۴</sup> و روش توده پارامتر<sup>۵</sup> است [۶]. روش اجزای محدود نسبت به سایر روش‌ها دقیق‌تر اما دارای بار محاسباتی بیشتر است [۷]. همچنین در روش اجزای محدود، قیدهای سینماتیکی را ساده‌تر می‌توان به سیستم اعمال کرد. این قیدها معمولاً به دلیل تعامل با محیط و یا همکاری

<sup>1</sup> Feedforward

<sup>2</sup> Feedback

<sup>3</sup> Assumed Mode Method

<sup>4</sup> Finite Difference

<sup>5</sup> Lumped Parameter Method

<sup>6</sup> Non-Collocated

<sup>7</sup> Minimum Phase

<sup>8</sup> Non-Minimum Phase

در تنظیمات DAE یک گام مهم است، جلوگیری می‌کند. این مسئله بهینه‌سازی را می‌توان به‌طور معادل برای شکل نرمال ورودی-خروجی [۱۵] یا برای فرم DAE تعریف کرد. تیلر و لی مسئله دینامیک معکوس را به‌عنوان یک مسئله مقدار مرزی فرمول‌بندی کردند، به‌طوری‌که اگر دینامیک داخلی ناپایدار باشد، می‌توان یک راه‌حل محدود پیدا کند [۱۶]. موریسون و همکاران مسئله دینامیک معکوس را به‌عنوان یک مسئله کنترل بهینه DAE فرموله کردند. آن‌ها تابع هدف را برای به حداقل رساندن دامنه دینامیک داخلی در طول مسیر، تعریف کردند. و مسئله مقدار مرزی با استفاده از روش شوتینگ چندگانه<sup>۴</sup> حل شده است [۱۷]. این روش به دلیل استحکام، کارایی محاسباتی و توانایی برای مقابله با مشکلات ناپایداری، شناخته شده است [۱۸]. این روش همچنین برای پردازش موازی مناسب است. بازه زمانی به تعدادی زیر بازه کوچک‌تر تقسیم می‌شود و برای هر زیر بازه، دینامیک معکوس در فرم DAE با ادغام زمان روبه‌جلو محاسبه می‌شود. این ادغام را می‌توان حتی اگر دینامیک داخلی ناپایدار باشد، انجام داد، مشروط بر اینکه فواصل فرعی شوتینگ به اندازه کافی کوچک باشند تا از ناپایداری راه‌حل جلوگیری شود.

در این مقاله، به مسئله دینامیک معکوس برای بازوهای انعطاف‌پذیری همکار پرداخته می‌شود. این مسئله با دینامیک معکوس ربات‌های سری به‌طور قابل‌توجهی متفاوت است به این دلیل که با همکاری ربات‌ها، زنجیره سینماتیکی بسته می‌شود؛ و قیدهای سینماتیکی و ضرایب لاگرانژ در مسئله وارد می‌شود. ضرایب لاگرانژ در قیدهای سینماتیکی نشان‌دهنده نیروهای اعمالی به جسم مشترک است و با کنترل و تنظیم آن‌ها می‌توان نیروهای داخلی را کنترل کرد علاوه بر قیدهای حاکم بر مسئله از قیدهای تساوی و نامساوی اضافی برای کنترل نیروهای داخلی استفاده شده است. برای بررسی صحت حل دینامیک معکوس، با گشتاورهای محاسبه شده از حل آن، دینامیک مستقیم شبیه‌سازی شده است و مسیر خروجی حل دینامیک مستقیم با مسیر مطلوب دینامیک یکسان هستند.

آوردن یک حل کران‌دار برای سیستم‌هایی با دینامیک داخلی ناپایدار، از روش‌های وارونگی پایدار استفاده می‌شود. اولین روش وارونگی پایدار توسط دواسیا و چن ارائه شد و شامل ترکیبی از انتگرال‌گیری زمانی روبه‌جلو و عقب معادله دینامیک داخلی است که به یک راه‌حل غیر سببی<sup>۱</sup> منجر می‌شود این بدان معناست که ورودی‌های کنترل باید قبل از شروع مسیر اعمال شود و پس از پایان مسیر هم ادامه داشته باشد. با انتخاب متغیر مستقل مناسب و فرمول‌بندی مجدد می‌توان DAE را به یک معادله دیفرانسیل معمولی تبدیل کرد؛ که با استفاده از روش پارتیشن‌بندی مختصات انجام شده است [۱۲]. سپس، شکل نرمال ورودی-خروجی<sup>۲</sup> را می‌توان همان‌طور که سیفراید نشان داده است استخراج کرد [۱۳]. با این حال، به دست آوردن فرم نرمال ورودی-خروجی یک فرآیند نسبتاً پیچیده تحلیلی به نظر می‌رسد. از نظر مهندسی، تعریف روش وارونگی پایدار به‌طور مستقیم بر اساس فرم DAE معادلات بسیار ساده‌تر است تا بتوان از کدهای مدل‌سازی چندجسمی<sup>۳</sup> استاندارد استفاده کرد.

بورولس و همکاران، یک روش وارونگی پایدار DAE برای سیستم‌های چندجسمی انعطاف‌پذیر پیشنهاد کرده‌اند [۱]. این روش معادل روش وارونگی پایدار محلی است اما در این روش به دست آوردن، شکل نرمال ورودی-خروجی لازم نیست. به همین دلیل، می‌توان آن را به راحتی در نرم‌افزارهای شبیه‌سازی استاندارد برای سیستم‌های چندجسمی توسعه داد. این روش منجر به مسئله DAE مقدار مرزی دونقطه‌ای می‌شود که نیاز به تعریف صحیح شرایط مرزی بر اساس تجزیه و تحلیل منیفولدهای پایدار و ناپایدار در تنظیم DAE دارد. سپس مسئله حاصل را می‌توان با استفاده از حل‌کننده DAE برای مسائل مقدار مرزی به صورت عددی حل کرد.

باستوس و همکاران، یک روش جایگزین مبتنی بر روش بهینه‌سازی مستقیم برای به دست آوردن حل کران‌دار مسئله دینامیک معکوس، بدون نیاز به شرایط مرزی پیشنهاد داده‌اند [۱۴] که اجرای این استراتژی ساده‌تر است. زیرا از تجزیه و تحلیل منیفولدهای پایدار و ناپایدار، که

<sup>1</sup> Noncausal

<sup>2</sup> Input-Output Normal Form

<sup>3</sup> Multibody

<sup>4</sup> Multiple Shooting

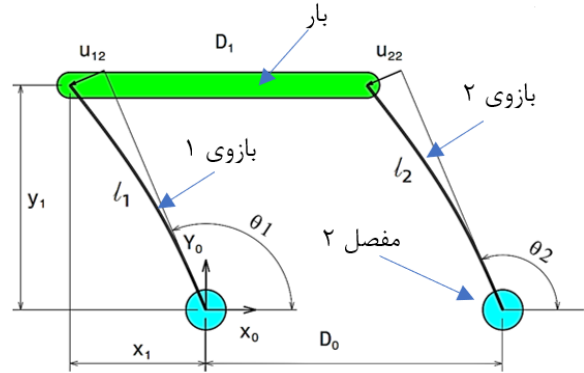
## ۲- دینامیک بازوهای تک لینکی انعطاف‌پذیر همکار

سیستم بررسی شده به صورت دو بازوی همکار مطابق با شکل ۱ در نظر گرفته شده است. سیستم از دو بازوی تک لینکی انعطاف‌پذیر تشکیل شده که هر یک از بازوها، در نقطه انتهایی به بار صلب، به صورت لولایی متصل شده است. سیستم به صورت صفحه‌ای و هر یک از اجزا به صورت تیر اولیر-برنولی مدل شده است هر عضو آزادانه می‌تواند در صفحه خم شود اما در جهت عمود بر صفحه نمی‌تواند خم نمی‌شود. در لولاها تویی شامل موتور و گیربکس، قرار دارد. شکل کلی معادلات دینامیکی سیستمی از ربات‌های انعطاف‌پذیر، با وجود قیدهای سینماتیکی به صورت معادله (۱) نشان داده می‌شود [۱۹].

$$M(q)\ddot{q} + g(q, \dot{q}, t) + B^T \lambda = Au \quad (الف-۱)$$

$$\Phi(q) = 0 \quad (ب-۱)$$

که در آن  $q$  بردار مختصات تعمیم‌یافته،  $M$  ماتریس جرم،  $g$  بردار نیروهای حاصل از گرانش و گریز از مرکز، کوریولیس و سفتی است.  $\Phi$  برداری شامل  $m$  قید سینماتیکی،  $\lambda$  برداری شامل  $m$  ضریب لاگرانژ و  $B = \frac{\partial \Phi(q)}{\partial q}$  ماتریس گرادیان قیده‌ها است. ماتریس  $A$  وروددهایی کنترلی  $u$  را در جهت مختصات سیستم توزیع می‌کند.



شکل (۱): دو بازوی تک لینکی همکار.

قیدهای سینماتیکی به خاطر تعامل با محیط، همکاری بین ربات‌ها و در مسئله وارد می‌شود. در مسئله دینامیک مستقیم با داشتن  $u$  در معادله (۱) خروجی سیستم  $y(q)$  را می‌توان با انتگرال‌گیری روبه‌جلو در زمان به دست آورد. در مسئله دینامیک معکوس با داشتن  $y_d(t)$  به صورت تابعی از

زمان به دنبال محاسبه  $u$  هستیم و قید مسیر به صورت تابعی از زمان باید در هر لحظه ارضا شود:

$$y(q) - y_d(t) = 0 \quad (۲)$$

که در آن  $y(q)$  خروجی سیستم و تابعی از  $q$  است و  $y_d(t)$  مسیر دلخواه هموار است که در یک بازه زمانی محدود  $[t_0, t_f]$  تعریف می‌شود. معادله (۱-ب) و (۲) به صورت معادلات جبری هستند و با وجود معادلات جبری فرم معادلات از ODE به DAE تغییر می‌کند. قید سینماتیکی حاکم بر مسئله ثابت بودن فاصله دونقطه انتهایی بازوها است. که به صورت زیر نوشته می‌شود:

$$D_1^2 - (X_1 - X_2)^2 - (Y_1 - Y_2)^2 = 0 \quad (الف-۳)$$

$$X_1 = l_1 \cos(\theta_1) - u_{12} \sin(\theta_1) \quad (ب-۳)$$

$$Y_1 = l_1 \sin(\theta_1) + u_{12} \cos(\theta_1) \quad (پ-۳)$$

$$X_2 = D_0 + l_2 \cos(\theta_2) - u_{22} \sin(\theta_2) \quad (ت-۳)$$

$$Y_2 = l_2 \sin(\theta_2) + u_{22} \cos(\theta_2) \quad (ث-۳)$$

که در آن‌ها  $\theta_1$  زاویه مفصل بازوی ۱،  $u_{12}$  خم‌ش خطی و  $v_{12}$  خم‌ش زاویه‌ای نقطه انتهایی بازوی ۱ مطابق شکل ۱ است و  $\theta_2, u_{22}, v_{22}$  مختصات بازوی ۲ می‌باشد. همچنین مختصات  $X_1$  و  $Y_1$  برای توصیف موقعیت انتهای بازوی ۱ استفاده شده و  $X_2$  و  $Y_2$  مختصات انتهای بازوی ۲ است. مختصات توصیف سینماتیکی بازوهای همکار به صورت زیر نشان داده می‌شود.

$$q = [\theta_1, u_{12}, v_{12}, \theta_2, u_{22}, v_{22}, X_1, Y_1, X_2, Y_2]^T \quad (۴)$$

برای توصیف موقعیت سیستم شش متغیر اول در معادله (۴) کافی است  $X_1, Y_1, X_2, Y_2$  و مختصات اضافی هستند که به ازای هر یک از آن‌ها یک معادله قید وجود دارد. با مشتق‌گیری از رابطه (۳) نسبت به متغیرهای معادله (۴) ماتریس ژاکوبی قیده‌های سینماتیکی  $B^T$  به دست می‌آید. به ازای هر یک از معادلات (۳) یک ضریب لاگرانژ و مجموعاً پنج ضریب لاگرانژ وجود دارد.

$$\lambda = [\lambda_1, \lambda_2, \lambda_3, \lambda_4, \lambda_5]^T \quad (۵)$$

ضریب لاگرانژ نشان‌دهنده نیروهای قیدی هستند.

$$\lambda_2 = F_{X1}; \lambda_3 = F_{Y1}; \quad (۶)$$

$$\lambda_4 = F_{X2}; \lambda_5 = F_{Y2};$$

برای به دست آوردن معادلات دینامیکی ماتریس‌های جرم، سفتی، گریز از مرکز و گرانش باید محاسبه شود.

$$c(q(t), \dot{q}(t), \ddot{q}(t), \lambda(t), u(t)) = 0 \quad (12)$$

روش‌های کنترل بهینه به‌طور کلی به موارد زیر طبقه‌بندی می‌شوند:

- روش‌های برنامه‌ریزی پویا که نیاز به حل معادله دیفرانسیل مشتقات جزئی دارند [۲۱].
- روش‌های غیرمستقیم که نیاز به حل مسئله مقدار مرزی دارند [۲۲].
- روش‌های مستقیم که مسئله کنترل بهینه را به یک مسئله برنامه‌ریزی غیرخطی تبدیل می‌کند. روش‌های مستقیم، شرایط بهینه را پس از گسسته‌سازی زمانی مسئله، فرموله می‌کنند و مزایای متعددی مانند مقاومت، فرمول‌بندی مجدد آسان برای مسائل مختلف و توانایی حل مسائل غیرخطی پیچیده و ناپایدار را ارائه می‌دهند. در بین روش‌های مستقیم، تمایز بیشتری را می‌توان بین روش‌های رونوشت مستقیم [۲۳]، روش‌های شوتینگ تکی<sup>۲</sup> و روش‌های شوتینگ چندگانه<sup>۳</sup> [۲۴] داد. در اینجا تمرکز بر روی روش رونوشت مستقیم است که در آن انتگرال‌گیری زمانی و بهینه‌سازی به‌طور هم‌زمان حل می‌شوند. این بدان معنی است که همه متغیرهای کنترل و حالت در هر گام از شبکه زمانی به‌عنوان متغیرهای بهینه‌سازی در نظر گرفته می‌شوند که منجر به مسئله برنامه‌ریزی غیرخطی (NLP) بزرگ اما پراکنده می‌شود [۱۴].

#### ۴- روش رونوشت مستقیم<sup>۴</sup>

در روش رونوشت مستقیم، مسئله کنترل بهینه در زمان به شبکه‌ای از  $N$  نقطه  $t^{(k)}$  گسسته می‌شود؛ که  $k = 1, \dots, N$  و  $t^1 = t_i$  و  $t^N = t_f$  است. مجموعه متغیرهای طراحی شامل جابجایی‌ها  $q$ ، سرعت‌ها  $\dot{q}$ ، شتاب‌ها  $\ddot{q}$ ، ضرایب لاگرانژ  $\lambda$  و ورودی‌های کنترلی  $u$  سیستم در هر گام زمانی است. مجموعه متغیرهای طراحی در هر گام زمانی  $k$  به‌صورت زیر تعریف می‌شود.

$$x^{(k)} = [q^{(k)}; \dot{q}^{(k)}; \ddot{q}^{(k)}; a^{(k)}; \lambda^{(k)}; u^{(k)}] \quad (13)$$

ماتریس جرم به شکل بلوک قطری به‌صورت زیر محاسبه می‌شود.

$$M = \text{blkdiag}(M_1, M_2, M_0) \quad (7)$$

که در آن  $M_1$  ماتریس جرم بازوی ۱ و  $M_2$  ماتریس جرم بازوی ۲ و  $M_0$  ماتریس جرم بار است. ماتریس سختی و گریز از مرکز- کوریولیس نیز به‌صورت زیر تعریف می‌شود.

$$C = \text{blkdiag}(C_1, C_2, 0_{[4 \times 4]}) \quad (8)$$

$$K = \text{blkdiag}(K_1, K_2, 0_{[4 \times 4]}) \quad (9)$$

ماتریس جرم، سختی و گریز از مرکز- کوریولیس برای ربات تک عضوی در پیوست (۱) آمده است. انعطاف‌پذیری بازوها با استفاده از تئوری تیر اویلر- برنولی مدل‌سازی شده است. از معادلات لاگرانژ، همراه با روش گسسته‌سازی اجزای محدود، برای ایجاد معادلات دینامیکی ربات استفاده شده است [۲۰]. بردار  $g(q, \dot{q}, t)$  در معادله (۱) به‌صورت زیر تعریف می‌شود.

$$g(q, \dot{q}) = C(q, \dot{q})\dot{q} + Kq \quad (10)$$

### ۳- مسئله بهینه‌سازی

مسئله دینامیک معکوس به‌عنوان یک مسئله بهینه‌سازی مقید فرمول‌بندی می‌شود که در آن انرژی الاستیک اعضا در طول مسیر حداقل می‌شود. در مسئله کنترل بهینه، شکل کلی تابع هدف با فرم بولزا<sup>۱</sup> را می‌توان به‌صورت زیر در نظر گرفت:

$$J = \int_{t_i}^{t_f} L(q(t), \dot{q}(t), \lambda(t), u(t), t) dt + E(q(t_f), \dot{q}(t_f)) \quad (11)$$

این تابع هدف یک انتگرال هزینه را در بازه  $[t_i, t_f]$  (ترم لاگرانژ) و تابعی از متغیرهای حالت در زمان پایانی  $t_f$  (ترم مایر) ترکیب می‌کند. به‌طور کلی، قیدهای مسیر و قیدهای پایانی، محدودیت‌هایی را به دینامیک سیستم اعمال می‌کنند. این محدودیت‌ها می‌توانند به قیدهای نامساوی یا قیدهای تساوی منجر شود. در اینجا قید پایانی در نظر گرفته نشده است، و معادله (۱۱) به‌صورت قید تساوی در طول مسیر در نظر گرفته شده است که به شکل فشرده به‌صورت زیر نوشته می‌شوند.

<sup>2</sup> Single shooting

<sup>3</sup> Multiple shooting

<sup>4</sup> Direct transcription method

<sup>1</sup> Bolza

که در آن  $h$  گام زمانی گسسته‌سازی است. به‌منظور افزایش دقت از گسسته‌سازی مرتبه بالاتر مانند قانون دوزنقه‌ای می‌توان استفاده کرد. در هر گام زمانی معادلات حرکت (۱) و معادله مسیر (۲) در هر گام زمانی به‌عنوان قیدهای تساوی به‌صورت معادله (۱۹) در نظر گرفته می‌شوند.

$$\mathbf{c}_m^{(k)} = \begin{bmatrix} \mathbf{c}_{m1}^{(k)} \\ \mathbf{c}_{m2}^{(k)} \\ \mathbf{c}_{m2}^{(k)} \end{bmatrix} = 0$$

$$\mathbf{c}_{m1}^{(k)} = \mathbf{M}(\mathbf{q}^{(k)})\ddot{\mathbf{q}}^{(k)} + \mathbf{g}(\mathbf{q}^{(k)}, \dot{\mathbf{q}}^{(k)}) + \mathbf{B}^T(\mathbf{q}^{(k)})\boldsymbol{\lambda}^{(k)} - \mathbf{A}\mathbf{u}^{(k)} \quad (19)$$

$$\mathbf{c}_{m2}^{(k)} = \Phi(\mathbf{q}^{(k)})$$

$$\mathbf{c}_{m2}^{(k)} = \mathbf{y}(\mathbf{q}^{(k)}) - \mathbf{y}_d(t^{(k)})$$

$$k = 1, \dots, N$$

همچنین به‌طور مشابه، فرمول‌های انتگرال‌گیری روش  $\alpha$  تعمیم‌یافته، معادلات (۱۵) و (۱۶) به‌عنوان قیدهای تساوی به تعداد  $N - 1$  برای اطمینان از پیوستگی حل و سازگاری بین متغیرهای جابجایی، سرعت و شتاب بین گام‌های زمانی اعمال می‌شوند.

$$\mathbf{c}_\alpha^{(k)} = \begin{bmatrix} \mathbf{c}_{\alpha1}^{(k)} \\ \mathbf{c}_{\alpha2}^{(k)} \\ \mathbf{c}_{\alpha2}^{(k)} \end{bmatrix} = 0$$

$$\mathbf{c}_{\alpha1}^{(k)} = \dot{\mathbf{q}}^{(k+1)} - \dot{\mathbf{q}}^{(k)} - (1 - \gamma)h\mathbf{a}^{(k)} - \gamma h\mathbf{a}^{(k+1)} \quad (20)$$

$$\mathbf{c}_{\alpha2}^{(k)} = \mathbf{q}^{(k+1)} - \mathbf{q}^{(k)} - h\dot{\mathbf{q}}^{(k)} - (\frac{1}{2} - \beta)h^2\mathbf{a}^{(k)} - \beta h^2\mathbf{a}^{(k+1)}$$

$$\mathbf{c}_{\alpha2}^{(k)} = (1 - \alpha_m)\mathbf{a}^{(k+1)} \mp \mathbf{a}^{(k)} - (1 - \alpha_f)\ddot{\mathbf{q}}^{(k+1)} - \alpha_f\ddot{\mathbf{q}}^{(k)}$$

$$k = 1, 2, \dots, N - 1$$

بردار قیدهای تساوی برداری متشکل از قیدهای ذکر شده در هر گام زمانی است.

$$\mathbf{c}^d = (\mathbf{c}_m^{(1)}; \mathbf{c}_\alpha^{(1)}; \dots; \mathbf{c}_m^{(N-1)}; \mathbf{c}_\alpha^{(N-1)}; \mathbf{c}_\alpha^{(N)}) = 0 \quad (21)$$

در معادله (۲۱) هر قید فقط به چند مؤلفه از بردار بزرگ  $\mathbf{x}$  بستگی دارد. به همین دلیل، مسئله NLP حاصل، ساختار بسیار پراکنده‌ای دارد.

اکثر الگوریتم‌های بهینه‌سازی به ارزیابی گرادیان تابع هدف و قیدها بر اساس متغیرهای طراحی نیاز دارند. این گرادیان‌ها را با روش تفاضل محدود می‌توان به دست آورد. باین‌حال، اگر ساختار پراکنده مسئله کنترل بهینه استفاده نشود، منجر به محاسبات نسبتاً ناکارآمد به دلیل محاسبه

متغیرهای طراحی در همه گام‌های زمانی به‌صورت زیر نوشته می‌شود.

$$\mathbf{x} = [x^{(1)}; x^{(2)}; \dots; x^{(k)}] \quad (14)$$

روش  $\alpha$  تعمیم‌یافته، [۲۵] که بر اساس فرمول‌های نیومارک است، می‌تواند به‌عنوان الگوریتم انتگرال‌گیری زمانی به‌صورت زیر استفاده شود.

$$\dot{\mathbf{q}}^{(k+1)} = \dot{\mathbf{q}}^{(k)} + (1 - \gamma)h\mathbf{a}^{(k)} + \gamma h\mathbf{a}^{(k+1)}$$

$$\mathbf{q}^{(k+1)} = \mathbf{q}^{(k)} + h\dot{\mathbf{q}}^{(k)} + (\frac{1}{2} - \beta)h^2\mathbf{a}^{(k)} + \beta h^2\mathbf{a}^{(k+1)} \quad (15)$$

و روابط شتاب کمکی به‌صورت زیر است [۲۵].

$$\mathbf{a}^{(k+1)}(1 - \alpha_m) + \alpha_m\mathbf{a}^{(k)} - (1 - \alpha_f)\ddot{\mathbf{q}}^{(k+1)} - \alpha_f\ddot{\mathbf{q}}^{(k)} = 0 \quad (16)$$

که در آن  $\alpha_m$ ،  $\beta$ ،  $\gamma$ ،  $\alpha_f$  پارامترهای عددی روش  $\alpha$  تعمیم‌یافته هستند و می‌توانند برای ترکیب پایداری غیرشرطی و دقت مرتبه دوم انتخاب شوند. میرایی عددی را می‌توان برای به دست آوردن یک شعاع طیفی معین در فرکانس‌های بی‌نهایت  $\rho^\infty$  تنظیم کرد.

روش رونوشت مستقیم می‌تواند با قیدهای نامساوی و تساوی به‌راحتی کار کند که در مقایسه با روش‌های دیگر یک مزیت است. اگر قیود تساوی و نامساوی مسیر فقط در گره‌های شبکه زمانی اعمال شود، مسئله بهینه‌سازی به‌عنوان یک مسئله برنامه‌ریزی غیرخطی (NLP) بیان می‌شود. در این روش تنها قیدهای تساوی و نامساوی مسیر، وجود دارد، مسئله NLP شکل کلی زیر را به خود می‌گیرد.

$$\min J^d(\mathbf{x}) \quad s. t. \quad \begin{cases} c_{ieq}^d(\mathbf{x}) \leq 0 \\ c^d(\mathbf{x}) = 0 \end{cases} \quad (17)$$

که در آن  $J^d : D \subset \mathbb{R}^n \rightarrow \mathbb{R}^{nec}$  تابع هدف گسسته شده، و  $c^d : D \subset \mathbb{R}^n \rightarrow \mathbb{R}$  بردار قیدهای تساوی و  $c_{ieq}^d : D \subset \mathbb{R}^n \rightarrow \mathbb{R}$  بردار قیدهای نامساوی مسیر گسسته شده است که شامل روابط انتگرال‌گیری زمانی است. حل بهینه شرایط بهینه کاروش-کوهن-تاکر<sup>۱</sup> را برآورده می‌کند. حل گره‌ای استاندارد NLP را می‌توان برای حل چنین مسائلی به‌طور مؤثر مورد استفاده قرار داد.

گسسته‌سازی تابع هدف در معادله (۱۲) با توجه به روش صریح اویلر معادله زیر را نتیجه می‌دهد.

$$J^d = \sum_{k=1}^{N-1} L(\mathbf{q}^k, \dot{\mathbf{q}}^k, \boldsymbol{\lambda}^k, \mathbf{u}^k)h + E(\mathbf{q}^N, \dot{\mathbf{q}}^N) \quad (18)$$

<sup>1</sup>Karush-Kuhn-Tucker

مطلوب، مختصه  $Y$  مرکز جرم جسم صلب دارای مقدار اولیه  $0/09$  متر و مقدار نهایی  $0/27$  متر است. حرکت در صفحه افقی و از گرانش صرف نظر شده است.

فرکانس طبیعی سیستم به موقعیت بار بستگی دارد و بیشترین مقدار تقریباً برابر  $0/3$  ثانیه است به این دلیل زمان شبیه سازی مقدری کمتر و برابر با  $0/25$  ثانیه در نظر گرفته شده است. از آنجایی که سیستم غیر مینیمم فاز است، می توان پیش فعال و پس فعال بودن سیستم را انتظار داشت. به همین  $0/02$  ثانیه ابتدایی و انتهایی زمان پیش فعال و پس فعال<sup>۲</sup> بودن سیستم است. مجموعه متغیرهای طراحی در هر گام زمانی  $K$  به صورت زیر تعریف می شود.

$$q^{(k)} = [\theta_1^{(k)}; u_{12}^{(k)}; v_{12}^{(k)}; \theta_2^{(k)}; u_{22}^{(k)}; v_{22}^{(k)}; X_1^{(k)}; Y_1^{(k)}; X_2^{(k)}; Y_2^{(k)}] \quad (22)$$

$$x^{(k)} = [q^{(k)}; \dot{q}^{(k)}; \ddot{q}^{(k)}; a^{(k)}; \lambda^{(k)}; u^{(k)}]$$

گام زمانی شبیه سازی  $0/01$  ثانیه لحاظ شده است و بازه زمانی به  $250$  مرحله زمانی گسسته شده است.

تابع هدف بهینه سازی، انرژی الاستیک اعضا است و به صورت معادله (۲۳) در نظر گرفته شده است. به منظور افزایش سرعت همگرایی الگوریتم بهینه سازی، گرادیان تابع هدف، نسبت به متغیرهای طراحی، به صورت تحلیلی محاسبه و به برنامه داده شده است.

$$J^d = \frac{1}{T} \sum_{k=1}^N h q^{(k)} K^{(k)} q^{(k)} \quad (23)$$

قید تساوی بر اساس رابطه (۱۹) شامل معادلات دینامیکی حرکت، قیدهای سینماتیکی قید مسیر است. معادلات دینامیکی حرکت  $C_{m1}^{(k)}$  بر اساس رابطه (۱-الف) با در نظر گرفتن ماتریس های جرم، سختی، کوریولیس هر یک از بازوها و بار و ماتریس ژاکوبی قیدها محاسبه می شود. معادله (۳) قیدهای سینماتیکی  $C_{m2}^{(k)}$  را نشان می دهد. با توجه به این که هدف، کنترل موقعیت  $Y$  مرکز جرم بار است قید مسیر  $C_{m2}^{(k)}$  به صورت تابع چند جمله ای درجه پنج به شکل زیر نوشته می شود.

$$y_d(t) = \frac{Y_1 + Y_2}{2} = \frac{1}{2}(l_1 \sin(\theta_1) + u_{12} \cos(\theta_1) + l_2 \sin(\theta_2) + u_{22} \cos(\theta_2)) \quad (24)$$

گرادیان توابع خواهد شد. به جای روش تفاضل محدود، می توان از روش های تحلیلی برای محاسبه گرادیان توابع  $J^d$ ،  $C_{ieq}^d$  و  $C^d$  نسبت به متغیرهای طراحی  $x$  استفاده کرد. در اینجا از جعبه ابزار ریاضیات سمبولیک<sup>۱</sup> متلب برای مشتق گیری نسبت به متغیرهای طراحی استفاده شده است. این روش منجر به محاسبه دقیق و سریع گرادیانها نسبت به روش تفاضل محدود می باشد، اندازه متغیرهای طراحی و ماتریس ژاکوبی قیود و تابع هدف با افزایش تعداد نقاط شبکه زمانی به شدت افزایش می یابد. حذف بعضی از قیدهای خطی می تواند برای کاهش تعداد متغیرهای طراحی و قیود در فرآیند بهینه سازی اعمال شود. با این حال، حذف قیود ممکن است الگوی پراکندگی مسئله بهینه سازی را تغییر دهد، به طوری که حذف این قیدها ممکن است، سودمند نباشد.

## ۵- شبیه سازی عددی

خصوصیات فیزیکی سیستم بازوهای انعطاف پذیر شکل ۱ در جدول ۱ نشان داده شده است.

جدول (۱): پارامترهای ربات دو عضوی

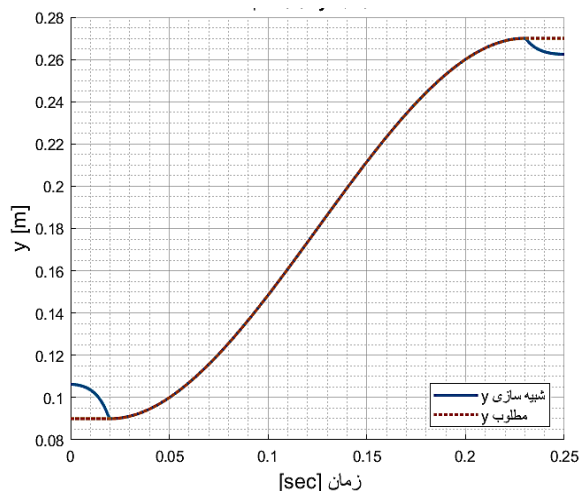
پارامتر	نمایه	ابعاد و ضریب	مقدار
طول عضو ۲	$l_1$	m	۰/۵
طول عضو ۱	$l_2$	m	۰/۵
ممان اینرسی مقاطع	$I$	$10^{-11} \text{ m}^4$	۲
مساحت مقطع	$A$	$10^{-5} \text{ m}^2$	۶
چگالی عضو ۱	$\rho_1$	$\text{kg/m}^3$	۲۶۶۶/۶۷
چگالی عضو ۲	$\rho_2$	$\text{kg/m}^3$	۲۶۸۴/۵۶
مدول یانگ	$E_1$	$10^{11} \text{ N/m}^2$	۲
نسبت تبدیل	Gr	-	۱
جرم بار	$m_p$	kg	۰/۱
ممان اینرسی بار	$I_p$	$10^{-3} \text{ kg.m}^2$	۰/۵

هدف کنترل مسیر حرکت بار و نیروهای داخلی اعمالی توسط هر یک از بازوها به بار خارجی می باشد. ضرایب لاگرانژ برابر با نیروهای قیدی اعمالی به جسم است و مسیر

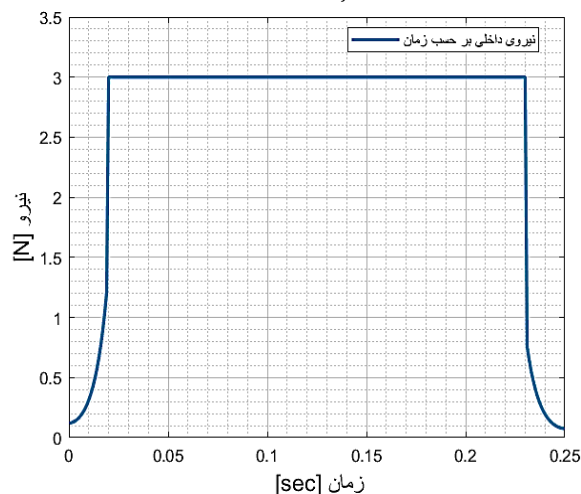
<sup>2</sup> Pre- and post-actuation

<sup>1</sup> Symbolic Math Toolbox

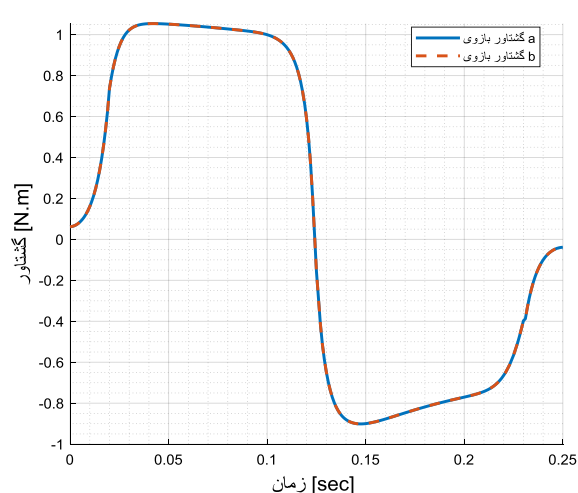
می‌دهد. مطابق با نمودار گشتاور بازوی a و b کاملاً با هم برابر محاسبه شده است.



شکل (۲):  $\beta = 0.33$ ،  $\alpha = 0.33$ ،  $\eta_1 = 0.83$ ،  $\eta_2 = 0.83$ ،  $\eta_3 = 0.83$ ،  $\eta_4 = 0.83$ ،  $\eta_5 = 0.83$ ،  $\eta_6 = 0.83$ ،  $\eta_7 = 0.83$ ،  $\eta_8 = 0.83$ ،  $\eta_9 = 0.83$ ،  $\eta_{10} = 0.83$ ،  $\eta_{11} = 0.83$ ،  $\eta_{12} = 0.83$ ،  $\eta_{13} = 0.83$ ،  $\eta_{14} = 0.83$ ،  $\eta_{15} = 0.83$ ،  $\eta_{16} = 0.83$ ،  $\eta_{17} = 0.83$ ،  $\eta_{18} = 0.83$ ،  $\eta_{19} = 0.83$ ،  $\eta_{20} = 0.83$



شکل (۳): نیروی داخلی جسم بر حسب زمان.



شکل (۴): گشتاور بازوها بر حسب زمان.

$$= \begin{cases} y_0 & t < t_1 \\ \Delta y(10\eta^3 - 15\eta^4 + 6\eta^5) + y_0 & t_1 < t < t_2 \\ y_0 + \Delta y & t_2 < t \end{cases}$$

$$\eta = \frac{t - t_1}{T_s}$$

قید دیگر مسئله بهینه‌سازی، برای کنترل نیروی داخلی اعمالی توسط ربات‌ها به جسم مشترک قید زیر روی ضرایب لاگرانژ وارد می‌شود.

$$\lambda_1^2 + \lambda_2^2 + \lambda_3^2 + \lambda_4^2 = F_{xa}^2 + F_{ya}^2 + F_{xb}^2 + F_{yb}^2 \quad (25)$$

$$= 18$$

با اعمال قید فوق اندازه نیروی داخلی اعمالی، برابر سه نیوتن در طول بازه زمانی اعمال قید می‌شود. قیدهای روش  $\alpha$  تعمیم‌یافته مطابق با معادلات (۲۰) روی سیستم اعمال می‌شود. پارامترهای عددی روش  $\alpha$  تعمیم‌یافته با انتخاب شعاع طیفی  $\rho$  بر روی ۰/۵ به صورت زیر به دست آمده است.

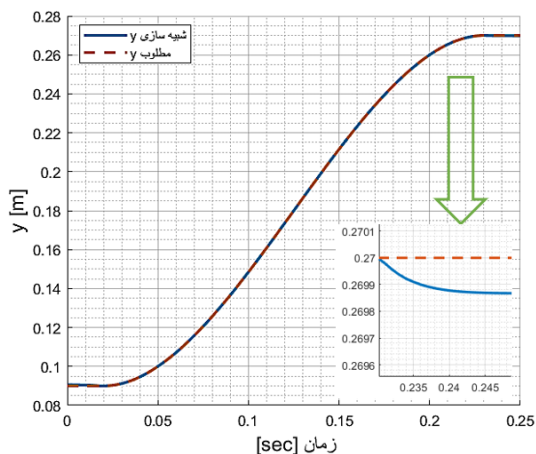
گرادیان‌های توابع قید، نسبت به متغیرهای طراحی، نیز به صورت تحلیلی محاسبه و به برنامه داده شده است. برای بهینه‌سازی از تابع `fmincon` متلب با الگوریتم `interior-point` با تلورانس  $10^{-8}$  برای قیدها و توابع استفاده شده است. بهتر است حدس اولیه بهینه‌سازی، برابر با حرکت سیستم صلب باشد. ولی در این مسئله با حدس اولیه صفر نیز الگوریتم همگرا می‌شود.

## ۶- نتایج

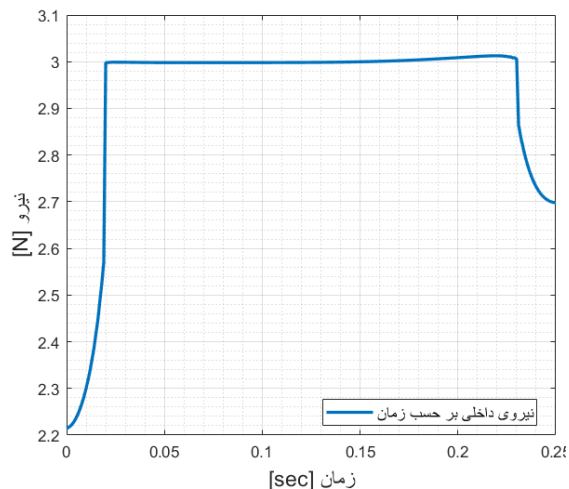
با استفاده از کامپیوتر `i7-7700HQ CPU @2.8 GHz`، حل دینامیک معکوس بعد از ۲۶ تکرار و ۴۳ ثانیه به پاسخ نهایی همگرا شده است. در شکل ۲ مسیر مطلوب و مسیر طی شده حین شبیه‌سازی نشان داده شده است. با توجه به شکل ۰/۰۲ ثانیه به عنوان زمان پیش و پس فعال در نظر گرفته شده است و در قبل از زمان پیش فعال و بعد از زمان پس فعال قید سرو به سیستم اعمال نمی‌شود. در زمان مابین [۰/۲۳ ۰/۰۲] ثانیه مسیر مطلوب با مسیر شبیه‌سازی شده کاملاً بر هم منطبق است. در شکل ۳ اندازه نیروی شبیه‌سازی شده اعمالی به جسم توسط بازوها نشان داده شده و در محدوده زمانی قید سرو [۰/۲۳، ۰/۰۲] ثانیه نیروی مطلوب سه نیوتن را ردیابی می‌کند. در شکل ۴ گشتاور اعمالی محاسبه شده توسط الگوریتم ارائه شده رانسان



حالت میزان تغییرات پاسخ در زمان پیش و پس فعال با قید سرو کمتر شده است. ولی در اواخر زمان اعمال قید سرو مقداری خطا در ردیابی نیرو وجود دارد. شکل ۹ گشتاور اعمالی به هر یک از بازوها را نشان می‌دهد. با توجه به این شکل‌ها جهت گشتاور در بازوها متفاوت است و از نظر مقدار نیز مقدار یکسانی ندارند. برعکس شبیه‌سازی بدون اعمال قید نامساوی که از نظر مقدار و جهت کاملاً یکسان بودند. در شکل ۱۰ و ۱۱ تغییر شکل الاستیک خطی و زاویه‌ای بازوها نشان داده شده است. مقادیر به دست آمده به صورت تقریبی متناسب با گشتاور اعمالی به بازوها می‌باشد. همچنین با ثابت نگاه داشتن جهت نیروی داخلی مقدار تغییر شکل‌های الاستیک کاهش می‌یابد.

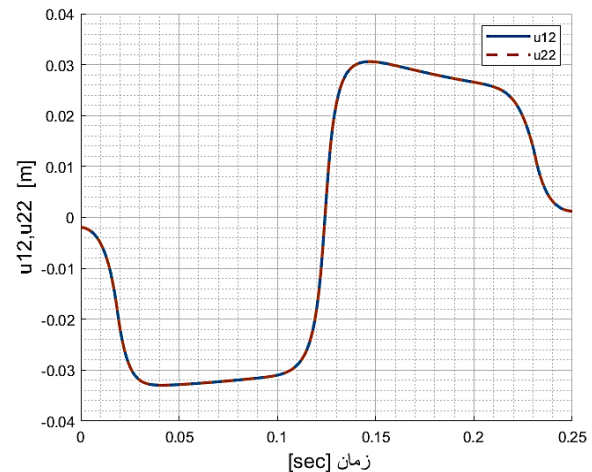


شکل (۷): Y مرکز جرم بر حسب زمان با اعمال قید نامساوی.

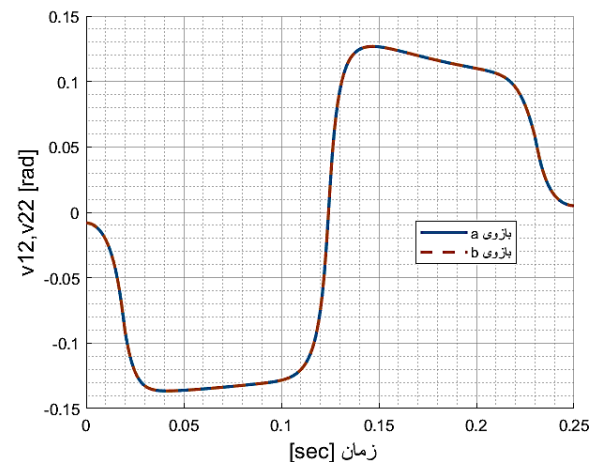


شکل (۸): نیروی داخلی بر حسب زمان با اعمال قید نامساوی.

همچنین جابجایی الاستیک بازوها در شکل‌های ۵ و ۶ نشان داده شده است که مقداری مساوی در هر دو بازو دارد. تغییر اندازه گشتاور بازوها باعث تغییر در جهت نیرو در جسم می‌شود؛ که برای کنترل نیرو در بازوهای همکار مناسب نیست.



شکل (۵): u22 و u12 (جابجایی الاستیک بازوها) بر حسب زمان.



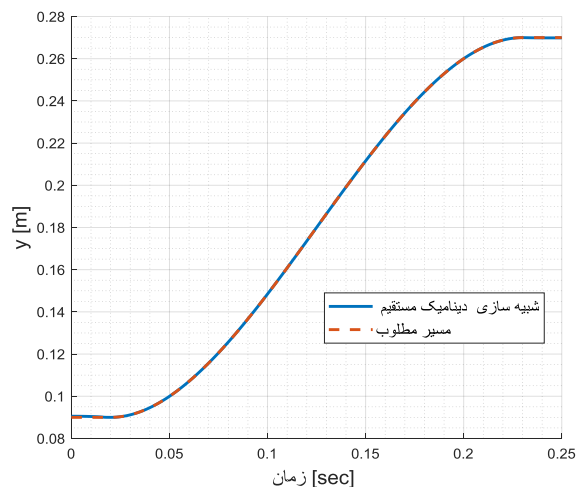
شکل (۶): v22 و v12 بر حسب زمان.

با توجه به این که جهت اعمال نیرو حین شبیه‌سازی عوض می‌شود قید نامساوی مطابق با معادله (۱۹) روی مسئله بهینه‌سازی اعمال می‌شود.

$$-(\lambda_1 + \lambda_2) < 0 \quad (26)$$

با اعمال قید نامساوی (۱۹) زمان حل افزایش می‌یابد و بعد از ۲۲۰ تکرار و ۵۱۹ ثانیه به پاسخ نهایی همگرا می‌شود. در شکل‌های ۷ و ۸ مسیر حرکتی و نیروی داخلی جسم مشترک با اعمال قید نامساوی را نشان می‌دهد. در این

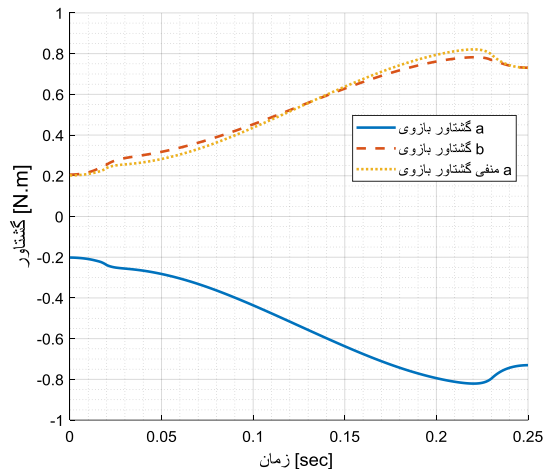
برای بررسی صحت حل دینامیک معکوس، با گشتاورهای محاسبه‌شده مطابق با شکل ۹ و ۱۰ دینامیک مستقیم شبیه‌سازی شده است برای استفاده از توابع حل‌کننده معادله دیفرانسیل در متلب مانند ODE45 باید معادلات دیفرانسیل مرتبه دو به معادله دیفرانسیل مرتبه یک تبدیل شود. همچنین شکل DAE معادلات حرکت توسط روش ارائه‌شده در [۲۰] به ODE تبدیل شده است. با انتخاب دقت حل برابر با  $10^{-8}$ ، گام زمانی به صورت خودکار تعیین می‌شود. خروجی شبیه‌سازی که موقعیت  $y$  بار است. در شکل ۱۲ نشان داده شده است. با توجه به شکل ۱۲ مسیر خروجی حل دینامیک مستقیم با مسیر مطلوب دینامیک معکوس یکسان هستند؛ که نشان‌دهنده درستی گشتاورهای محاسبه‌شده در حل دینامیک معکوس می‌باشد.



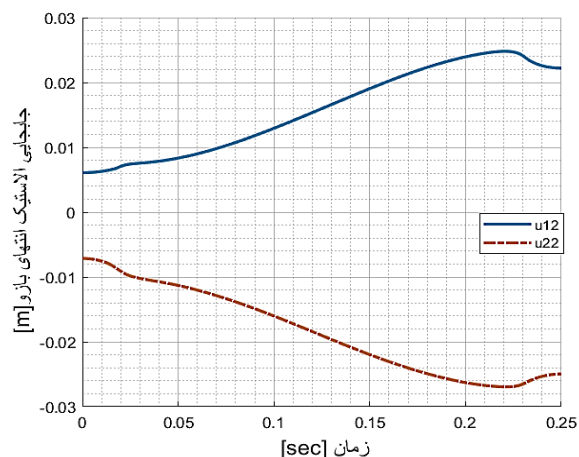
شکل (۱۲): شبیه‌سازی دینامیک مستقیم با گشتاورهای محاسبه‌شده از دینامیک معکوس.

## ۷- نتیجه‌گیری

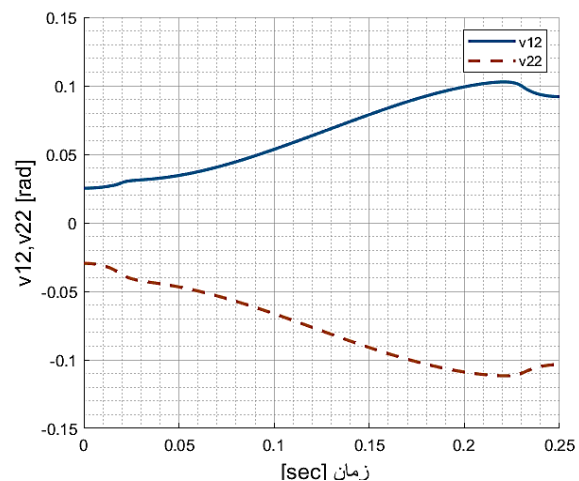
این مقاله، استفاده از روش بهینه‌سازی برای حل دینامیک معکوس ربات انعطاف‌پذیر همکار را بررسی می‌کند. از حل دینامیک معکوس در کنترل پیش‌خور بازوهای انعطاف‌پذیر استفاده می‌شود. به دلیل ماهیت غیر مینیمم فاز سیستم، روش انتگرال‌گیری روبه‌جلو برای حل دینامیک معکوس ناپایدار است؛ و روش بهینه‌سازی حل پایدار برای این سیستم ارائه می‌دهد. تابع هدف بهینه‌سازی، انرژی الاستیک اجزا و قیدها شامل معادلات دینامیکی، قیدهای مسیر



شکل (۹): گشتاور بازوها برحسب زمان با اعمال قید نامساوی.



شکل (۱۰):  $u_{22}$  و  $u_{12}$  برحسب زمان با اعمال قید نامساوی.



شکل (۱۱):  $v_{22}$  و  $v_{12}$  برحسب زمان با اعمال قید نامساوی.

- [9] Seifried R. Two approaches for feedforward control and optimal design of underactuated multibody systems. *Multibody System Dynamics*. 2011;27(1):75-93.
- [10] Isidori A. *Nonlinear control systems*. Springer-Verlag; 1997.
- [11] Lismonde A, Sonnevile V, Brüls O. A geometric optimization method for the trajectory planning of flexible manipulators. *Multibody System Dynamics*. 2019;47(4):347-62.
- [12] Devasia S, Chen D, Paden B. Nonlinear inversion-based output tracking. *IEEE Transactions on Automatic Control*. 1996;41(7):930-42.
- [13] Seifried R. *Dynamics of underactuated multibody systems*: Springer; 2014.
- [14] Bastos G, Seifried R, Brüls O. Inverse dynamics of serial and parallel underactuated multibody systems using a DAE optimal control approach. *Multibody System Dynamics*. 2013;30(3):359-76.
- [15] Seifried R, Bastos Jr G, Brüls O. Computation of bounded feed-forward control for underactuated multibody systems using nonlinear optimization. *PAMM*. 2011;11(1):69-70.
- [16] Taylor DG, Li S. Stable inversion of continuous-time nonlinear systems by finite-difference methods. *IEEE Transactions on Automatic Control*. 2002;47(3):537-42.
- [17] Morrison DD, Riley JD, Zancanaro JF. Multiple shooting method for two-point boundary value problems. *Communications of the ACM*. 1962;5(12):613-4.
- [18] Bastos G, Brüls O. Analysis of open-loop control design and parallel computation for underactuated manipulators. *Acta Mechanica*. 2020;231(6):2439-56.
- [19] Betts JT. *Practical methods for optimal control and estimation using nonlinear programming*: SIAM; 2010.
- [20] Absil PA, Mahony R, Sepulchre R. *Optimization algorithms on matrix manifolds*. In *Optimization Algorithms on Matrix Manifolds* 2009 Apr 11. Princeton University Press.
- [21] Bellman R. *Dynamic programming*. Science. 1966;153(3731):34-7.
- [22] Bakke V. A maximum principle for an optimal control problem with integral constraints. *Journal of Optimization Theory and Applications*. 1974;13(1):32-55.

حرکت و نیرو، قیدهای روش  $\alpha$  تعمیم یافته برای پایداری حل، قیدهای سینماتیکی و قیدهای مربوط به متغیرهای اضافی است. همچنین قید نامساوی نیز برای جلوگیری از تغییر جهت نیرو در کنترل نیرو به سیستم اعمال شده است. ربات با استفاده از تئوری تیر اویلر-برنولی، از روش معادلات لاگرانژ، همراه با گسسته سازی اجزای محدود مدل سازی شده است. با توجه به شبیه سازی های انجام شده بر روی ربات های تک عضوی این روش، مسئله دینامیک معکوس و سینماتیک معکوس ربات های انعطاف پذیر همکار را می تواند باهم حل کند، مزیت دیگر کنترل نیروی داخلی و خارجی است که با اعمال قیدهای تساوی و نامساوی روی ضرایب لاگرانژ انجام شده است.

## ۸- مراجع

- [1] Brüls O, Bastos Jr G, Seifried R. A stable inversion method for feedforward control of constrained flexible multibody systems. *Journal of computational and nonlinear dynamics*. 2014;9(1).
- [2] Magee DP, Book WJ. Eliminating multiple modes of vibration in a flexible manipulator. In *Proceedings IEEE International Conference on Robotics and Automation 1993*: 474-479.
- [3] Rhim S, Book WJ. Adaptive time-delay command shaping filter for flexible manipulator control. *IEEE/ASME Transactions on Mechatronics*. 2004 Dec 27;9(4):619-26.
- [4] Mohamed Z, Tokhi MO. Command shaping techniques for vibration control of a flexible robot manipulator. *Mechatronics*. 2004 Feb 1;14(1):69-90.
- [5] Jackson L, Cable P. *Digital Filters and Signal Processing by LB Jackson*. Acoustical Society of America; 1987.
- [6] Lismonde A. *Geometric modeling and inverse dynamics of flexible manipulators*. 2020.
- [7] Theodore RJ, Ghosal A. Comparison of the assumed modes and finite element models for flexible multilink manipulators. *The International journal of robotics research*. 1995 Apr;14(2):91-111.
- [8] Seifried R, Held A, Dietmann F. Analysis of feed-forward control design approaches for flexible multibody systems. *Journal of System Design and Dynamics*. 2011;5(3):429-40.

[23] Diehl M, Bock HG, Diedam H, Wieber P-B. Fast direct multiple shooting algorithms for optimal robot control. Fast motions in biomechanics and robotics: Springer; 2006. p. 65-93.

[24] Chung J, Hulbert G. A time integration algorithm for structural dynamics with improved numerical dissipation: the generalized- $\alpha$  method. 1993.

[25] Newmark NM. A method of computation for structural dynamics. Journal of the engineering mechanics division. 1959;85(3):67-94.

## ۹- پیوست

مدل غیرخطی بازوی تک لینکی انعطاف‌پذیر با گسسته‌سازی اجزای محدود با یک المان به ترتیب ماتریس جرم، سختی و کوریولیس و گریز از مرکز:

$$M = \frac{\rho Al}{420} \begin{bmatrix} M_{11} & M_4 l + 147l & M_5 - 21l^2 \\ M_4 l + 147l & M_4 + 156 & -22l \\ M_5 - 21l^2 & -22l & M_5 + 4l^2 \end{bmatrix}$$

$$M(1,1) = 140l^2 + 156u_{12}^2 + 4l^2v_{12}^2 -$$

$$M_5 = \frac{420I_p}{\rho Al}; M_4 = \frac{420M_p}{\rho Al}$$

$$M_{11} = 140l^2 + 156u_{12}^2 + 4l^2v_{12}^2 - 44l_1u_{12}v_{12} + \frac{420}{\rho Al}(l^2m_p + I_p + Gr_1^2I_{h1} + m_p u_{12}^2)$$

$$K = \frac{EI}{l^3} \begin{bmatrix} 0 & 0 & 0 \\ 0 & 12 & -6l \\ 0 & -6l & 4l^2 \end{bmatrix}$$

$$c = \frac{\rho Al}{420} \begin{bmatrix} c_{11} & c_{12} & c_{13} \\ c_{21} & 0 & 0 \\ c_{31} & 0 & 0 \end{bmatrix} \begin{bmatrix} \dot{\theta}_1 \\ \dot{u}_{12} \\ \dot{v}_{12} \end{bmatrix}$$

$$c_{11} = 156u_{12}\dot{u}_{12} + 4l^2v_{12}\dot{v}_{12} - 22lu_{12}\dot{v}_{12} - 22l\dot{u}_{12}v_{12} + \frac{420m_p}{\rho Al}u_{12}\dot{u}_{12}$$

$$c_{12} = c_{21} = \dot{\theta}_1(156u_{12} - 22lv_{12} + \frac{420m_p}{\rho Al}u_{12})$$

$$c_{13} = c_{31} = -\dot{\theta}_1(22lu_{12} - 4l^2v_{12})$$

که در عبارات فوق  $l$  طول عضو،  $A$  سطح مقطع،  $\rho$  چگالی،  $EI$  سختی خمشی،  $m_p$  جرم بار،  $I_p$  ممان اینرسی بار،  $I_h$  اینرسی هاب،  $Gr$  ضریب تبدیل گیربکس،  $\theta$  زاویه عضو،  $u_{12}$  خمش انتهای عضو و  $v_{12}$  زاویه خمشی انتهای عضو است.



## Stable Inversion for Feedforward Control of Flexible Cooperative Manipulators

Hadi Darabi<sup>1</sup>, Mohammad Reza Elhami<sup>2\*</sup>

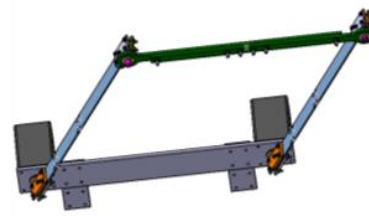
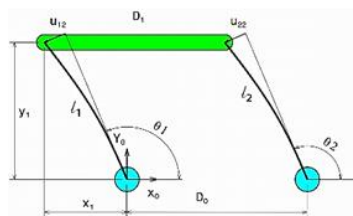
<sup>1</sup> Ph.D. Student, Department of Mechanical Engineering, Faculty of Engineering, Imam Hossein University, Tehran, Iran

<sup>2</sup> Associate Professor, Department of Mechanical Engineering, Faculty of Engineering, Imam Hossein University, Tehran, Iran

### HIGHLIGHTS

- Lagrange multipliers in constraint systems represent internal forces. And by adjusting them, the internal forces are controlled.
- The inequality constraint is introduced as a constraint of the minimization problem for converging to the correct answer.

### GRAPHICAL ABSTRACT



### ARTICLE INFO

#### Article history:

Article Type: Research paper

Received: 24 October 2022

Received in revised form: 4 November 2022

Accepted: 8 December 2022

Available online: 12 December 2022

\*Correspondence:

melhami@ihu.ac.ir

#### How to cite this article:

H. Darabi, M.R. Elhami. Stable inversion for feedforward control of flexible cooperative manipulators. Journal of Aerospace Mechanics. 2023; 19(1):123-135.

#### Keywords:

Flexible manipulator  
Finite element  
Lagrange method  
Stable inversion  
Generalized  $\alpha$  method

### ABSTRACT

In this paper, the inverse dynamics solution for feedforward control of cooperative flexible manipulators is investigated. The internal dynamics of flexible manipulators are unstable, and to obtain a bounded solution to the inverse dynamics problem, the constrained nonlinear optimization method is used. In the optimization method, the aim is to minimize the elastic energy of the manipulators despite several constraints. These constraints include: 1) dynamic equations; 2) Spatial and force trajectory; 3) kinematic constraints limiting the movement of manipulators; 4) constraints related to superfluous variables and 5) constraints of the generalized  $\alpha$  method for the stability of the solution. The method used for dynamic modeling is based on the Lagrange equation and finite element discretization. Lagrange multipliers have been used to control the internal forces applied to the payload, and to prevent the change of direction in force control, an inequality constraint has been added to the optimization constraints. This method is implemented on flexible cooperative manipulators and has the ability to control the path of the payload and the force applied to it.